

## بررسی آلدگی آرسنیک و راهکارهای پدافند زیستی در حوضه سفیدرود

علیرضا مرادیان<sup>۱</sup> و پرویز رفعتی<sup>۲</sup>

۱- دانش آموخته زمین‌شناسی زیستمحیطی، دانشگاه فردوسی مشهد Armh22@gmail.com

۲- مریبی دانشگاه جامع امام حسین (ع)

### چکیده

آگاهی از شرایط زمین‌شناسی برای درک، تفسیر و ارزیابی آلدگی منابع آب و خاک هر منطقه ضروری می‌باشد. محدوده مورد مطالعه (حوضه سفیدرود) در استان گیلان قرار دارد. جهت بررسی منشأ و متغیرهای مؤثر بر تغییرات آرسنیک در محیط‌زیست حوضه رودخانه سفیدرود، ۳۳۶ نمونه از ۴۸ ایستگاه (در طول ۹ ماه) و همچنین آنالیزهای شیمیایی (۱۱ نمونه از سنگ و ۱۸ نمونه از رسوبات) مورد تجزیه و تحلیل قرار گرفت. نتایج حاصل نشان داد که میزان آرسنیک در برخی از قسمت‌های منطقه بیشتر از استاندارد است. با محاسبه نسبت تمرکز در سنگ‌ها مشخص گردید که عناصر اندازه‌گیری شده در اکثر نمونه‌ها، دارای تمرکز بالاتر از مقدار کلارک می‌باشند که نشان‌دهنده این موضوع است که سنگ‌های منطقه، پتانسیل آلایندگی این عناصر را دارند. متغیرهای هیدروژئوشیمیایی آب‌های سطحی و زیرزمینی بعلاوه مجموعه کانیایی و مشخصات رسوب‌شناسی موردنبررسی قرار گرفت و مشخص شد غلظت آرسنیک از نظر مکانی بسیار متغیر می‌باشد. بیشترین آلدگی آرسنیک در آب چاه‌های فخرآباد و سالکده طی ماه‌های مهر و آبان مشاهده شد. فراوانی آرسنیک رابطه غیرمستقیمی با مقدار نیترات و DO در آب‌های سطحی و زیرزمینی نشان می‌دهد. اطلاعات هیدروژئوشیمیایی نشان داد که آزاد شدن آرسنیک به درون آب‌های سطحی و زیرزمینی در محدوده موردمطالعه توسط فرایندهای پیچیده‌ای کنترل می‌شود که مهم‌ترین این فرایندها عبارت‌اند از: ۱) انحلال آرسنیک از سطح اکسی-هیدروکسیدهای آهن به عنوان فرآیند اصلی آزادسازی آرسنیک، ۲) تجزیه و هوازدگی سنگ‌ها و کانی‌های حوضه، ۳) ترکیب کانی‌شناخته‌ای‌آبخوان، ۴) ورود نمک (از نهشته‌های تبخیری و نفوذ آب دریا به آبخوان) و ۵) فعالیت‌های انسانی.

واژگان کلیدی: هیدروژئوشیمی، دشت سفیدرود، آرسنیک، رسوبات، تحرک آرسنیک

### مقدمه

بالاتری در مقایسه با As(V) دارد (Smedley and Kinniburgh, 2002; Wang and Mulligan 2006; Rahman et al. 2009). غلظت مجاز As در آب آشامیدنی توسط سازمان بهداشت جهانی (WHO 2011) و استاندارد ۱۰۵۳ ملی ایران (۱۲۸۸)  $10\text{ }\mu\text{g/l}$  تعیین شده است. در این مورد، تمایزی بین آرسنیت و آرسنات قائل نشده است زیرا به طور معمول غلظت آرسنیک موجود در محیط‌زیست به صورت آرسنیک کل گزارش می‌شود.

فعالیت‌های انسانی می‌توانند نقش مهمی در افزایش غلظت As در منابع آب داشته باشند که از میان آن‌ها

آرسنیک به عنوان یک عنصر سمی شناخته شده است که بیستمین عنصر فراوان در پوسته زمین، چهاردهمین عنصر فراوان در آب اقیانوس‌ها است (Bhambha & Keefer, 1994). آرسنیک به طور طبیعی به دو شکل آلی و غیرآلی یافت می‌شود (Bodek et al., 1988). دو گونه آرسنیت است که به ترتیب در حالت‌های اکسایشی As(V) و As(III) رخ می‌دهند (Kevin, 2009). آرسنیک غیرآلی سمی‌تر و متحرک‌تر از گونه‌های آلی As است. علاوه بر این، As(III) سمی‌تر، انحلال پذیرتر و تحریک‌پذیری

است: اقدامات پیشگیرانه، اقدامات مقابله‌ای و اقداماتی برای بازگرداندن وضعیت ناحیه به شرایط قبل از حادثه. پدافند غیرعامل شامل مجموعه‌ای از اقدامات است که بدون درگیری مستقیم اثر تهدیدات محتمل را کاهش می‌دهد. بنابراین اقداماتی که تحت عنوان پدافند غیرعامل نام‌گرفته‌اند، بیشتر در حوزه اقدامات پیشگیرانه و نیز اقدامات بازگرداندن اوضاع به حالت عادی قرار می‌گیرند.

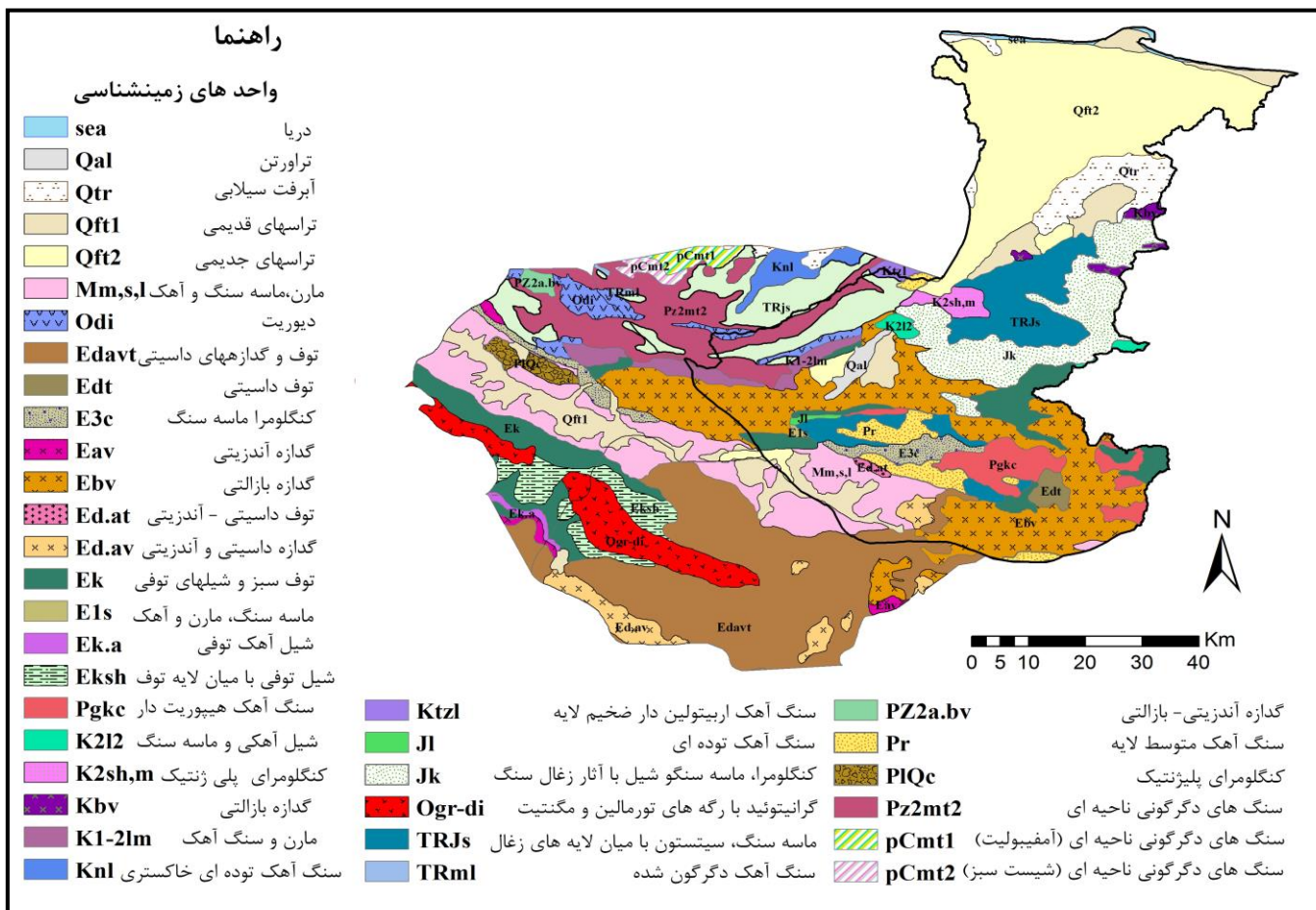
### موقعیت جغرافیایی و زمین‌شناسی منطقه

دشت سفیدرود در شمال کشور (در استان گیلان) واقع شده است. این دشت یکی از بزرگ‌ترین دشت‌ها در شمال کشور است بخش عمده‌ای از گستره موردمطالعه به وسیله رسوبات کواترنر، رودخانه‌ای، دلتایی و ساحلی پوشیده شده است. علاوه بر این، در جنوب منطقه گرانیتوئید، زون دکرسانی گرین‌شیست همراه با بازالتها و اسپلیت‌ها، توف‌های دکرسان شده، گدازه‌های بازالتی و آندزیتی، دیوریت، گایرو، دایک‌های آندزیتی و نهشته‌های قرمزنگ آواری (سیلت، ماسه‌سنگ، گل‌سنگ و کنگلومرا) و مارن‌های ژیپس‌دار مشاهده می‌شود (خجازنیا و همکاران، ۱۳۸۳) (شکل ۱). بخش وسیعی منطقه موردمطالعه مناطق پست زمین‌های کشاورزی هستند که معمولاً در آن‌ها کشت برنج صورت می‌گیرد. قسمت‌های که بین مناطق مرتفع کوهستانی با مناطق پست قرار دار پوشش جنگلی دیده می‌شود. هدف از این مطالعه بررسی میزان آنومالی آرسنیک در سنگ‌ها و رسوبات منطقه، همچنین بررسی نقش متغیرهای لیتوژئوژئیمیایی در آزادسازی آن در منابع آب‌زیرزمینی و سطحی در دشت سفیدرود است.

می‌توان به معدنکاری، سوزاندن سوخت‌های فسیلی، آفت‌کش‌ها، حشره‌کش‌ها و کارخانه‌های شیشه‌سازی Harvey et al., 2002; Wang and Mulligan, 2006 (As(III) به As(V) تابع pH و Cullen and Macur et al., 2001; Macur et al., 2004) مشخص شده که در شرایط پایدار اکسایشی، غلظت  $\text{As}^{3+}$  در آب‌های سطحی و خاک بیشتر از  $\text{As}^{5+}$  است.

بسته به ماهیت منبع آلوده‌کننده (زمین‌زاد یا بشرزاد)، غلظت آرسنیک در خاک می‌تواند در محدوده‌ای از کمتر از ۱ تا  $25000 \text{ mg/Kg}$  باشد. بازه‌ی تغییرات در مناطق مختلف بسیار وسیع است و این به دلیل تنوع در مواد اولیه سازنده خاک است. مقدار آرسنیک قابل انحلال موجود در خاک تا حد زیادی وابسته به شرایط اکسیداسیون-احیا، pH، فعالیت‌های زیستی و برهمکنش‌های جذب است. برهمکنش‌های جذب و تحرک آرسنیک در خاک بیشتر تحت تأثیر حضور یون  $\text{H}_2\text{PO}_4^-$  نسبت به سایر یون‌ها است (Mahimairaja et al., 2005).

تاریخ زندگی بشر همواره با تهدیداتی روبرو بوده است که سرمایه‌های معنوی و حتی جان او را به مخاطره می‌اندازد. تلاش انسان برای بقاء، او را ناگزیر به تجهیز در برابر تهدیدات کرده است. فرآیندی که اینمی نامیده می‌شود ممکن است، بر اساس حوزه تأثیر تهدید، نوع تهدید و یا حوزه اقدام برای مقابله با تهدید تقسیم‌بندی شود. از منظر حوزه اقدام برای کاهش اثرات، سه بخش اصلی قابل تصور



شکل ۱- نقشه زمین‌شناسی منطقه مورد مطالعه

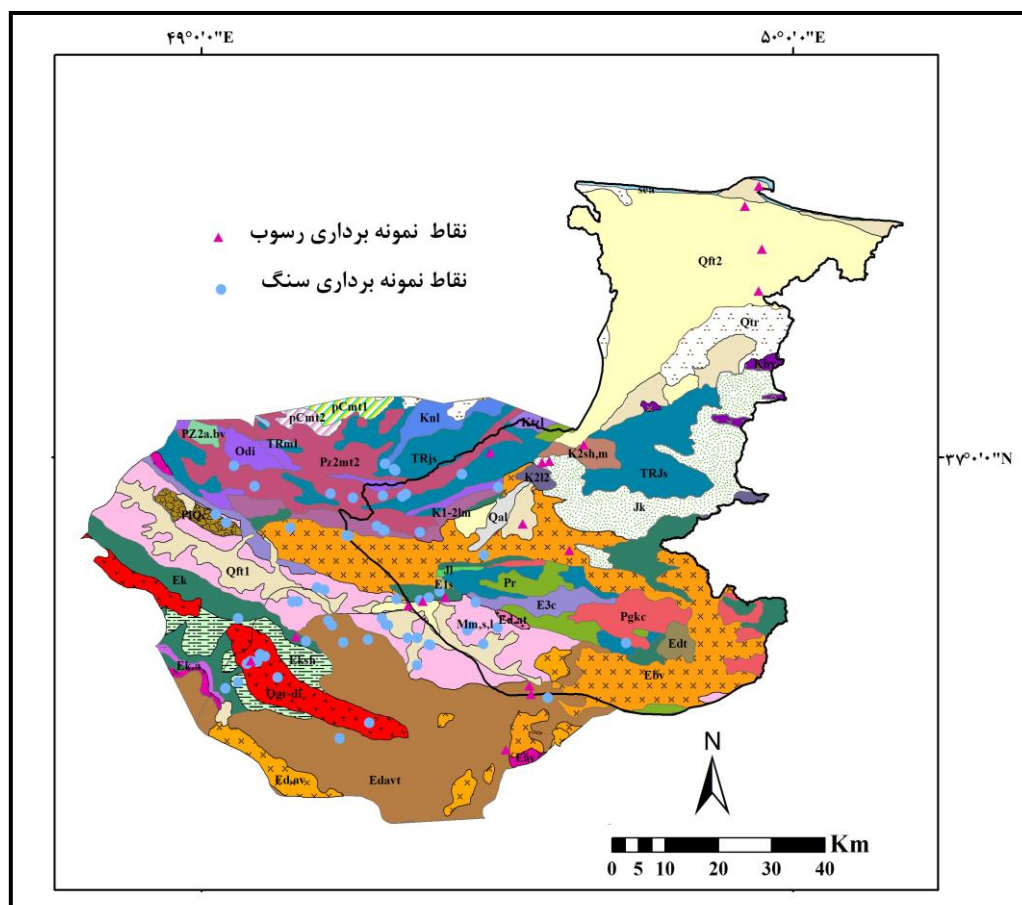
برای نمونه برداری رسوبات از رسوبات رودخانه‌ای منطقه موردمطالعه به صورت تصادفی با در نظر گرفتن پراکنش و توزیع خوب موقعیت‌های نمونه برداری مشخص و نمونه‌ها جمع‌آوری گردید، جهت بررسی روند و میزان آلودگی رسوبات، تعداد ۱۷ نمونه، از اعماق ۳۰-۱۰ cm رسوبات مناطقی که در مجاورت با مناطق نمونه برداری آب قرار داشتند، برداشت شد. بعد از انتقال به آزمایشگاه و حذف مواد آلی، نمونه‌های رسوبات در هوای آزاد خشک گردید. بعد از حذف رطوبت از رسوبات (جهت یکدست و یکنواخت شدن ذرات)، عمل خردایش و نرمایش صورت گرفت. سپس ذرات کوچک‌تر از ۲ mm توسط الک جداسازی شد و نمونه‌ها برای تعیین غلظت فلزات آزاد (آهن، منگنز و آلومنیوم) به روش جذب اتمی (AAS)، به

## مواد و روش‌ها

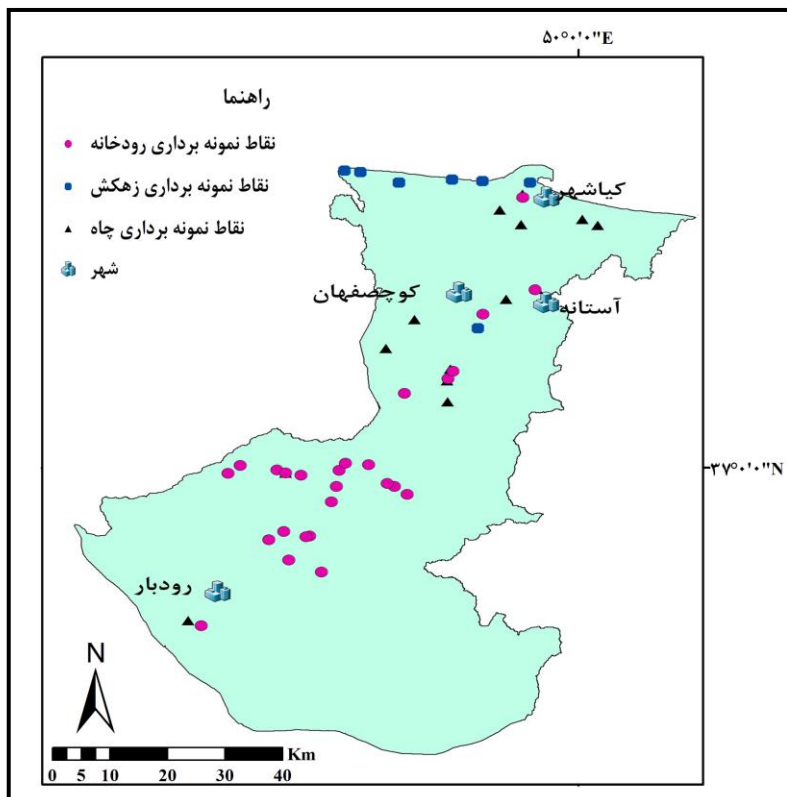
سنگ‌های موجود در مناطق مختلف به دلیل تأثیری که بر ترکیب خاک‌ها و رسوبات دارند، لذا تأثیر زیادی در کیفیت آب‌های آشامیدنی دارند. بنابراین، آگاهی از ترکیب شیمیایی این سنگ‌ها به عنوان منشأ طبیعی آلایندگی منابع آب به آرسنیک، امری ضروری می‌باشد. سنگ‌ها جهت تعیین ترکیب شیمیایی و اکسیدهای اصلی، مورد آنالیزهای شیمیایی قرار گرفتند. شکل ۲ مختصات نقاط نمونه برداری و ترکیب سنگ‌شناسی نمونه‌ها را نشان می‌دهد. انتخاب نقاط نمونه برداری به صورت هدفمند صورت گرفت و تلاش شد که از تمام لیتوژوئی‌های موجود در منطقه موردمطالعه نمونه برداشت شود و همچنین سعی گردید که نمونه‌ها داری پراکنش مناسب داشته باشند. در این پژوهش

الکتریکی (EC) با استفاده از دستگاه ملتی متغیر در محل نمونه برداری صورت گرفت، برای متغیرهای اکسیژن-خواهی زیستی (BOD)، اکسیژن خواهی شیمیابی (COD)، نیترات ( $\text{NO}_3^-$ )، فسفات ( $\text{PO}_4^{3-}$ )، کلرید ( $\text{Cl}^-$ )، سولفات ( $\text{SO}_4^{2-}$ )، کربنات ( $\text{CO}_3^{2-}$ )، بیکربنات ( $\text{HCO}_3^-$ )، کلسیم ( $\text{Ca}^{2+}$ )، منیزیم ( $\text{Mg}^{2+}$ )، سدیم ( $\text{Na}^+$ )، پتاسیم ( $\text{K}^+$ ) و آمونیوم ( $\text{NH}_4^+$ ) است از هر منبع، یک ظرف پلی اتیلن ۵۰۰ cc آب برداشت شد که پس از فیلتر کردن نمودن به آزمایشگاه ارسال گردید، با استفاده روش تیتراسیون اندازه گیری شدند. طبقه بندی داده ها با استفاده از نرم افزار Arc GIS (9.3)، نقشه های موردنیاز و پهنه بندی اراضی از دیدگاه های مختلف تهیه گردید. جهت ترسیم نمودارها و ضرایب همبستگی از نرم افزار SPSS (19) استفاده شد.

آزمایشگاه رئو شیمی دانشگاه فردوسی مشهد ارسال شدند. تعیین مقدار آرسنیک به روش تجزیه ای ICP-OES در آزمایشگاه مرکزی دانشگاه فردوسی مشهد انجام گردید. نمونه برداری از منابع آب منطقه به صورت ماهانه در طی ماه های اردیبهشت، خرداد، تیر، مرداد، شهریور، مهر و آبان، به منظور تعیین غلظت شبه فلز آرسنیک در منابع آب انجام شد (شکل ۱). برای این منظور از هر ایستگاه نمونه برداری یک ظرف شیشه ای ۸۰ cc آب برداشت شده پس از فیلتر کردن نمونه ها، جهت ثبت به هر ظرف، ۵ cc pH بر سرد تا از رسوب نیتریک اضافه گردید تا  $\leq 2$  pH با استفاده از ICP-OES (Nickson et al., 2000) احتمالی فلزات سنگین جلوگیری کند و سپس با استفاده از فیزیکو شیمیابی آب که شامل: دما، اسیدیته (pH)، اکسیژن محلول (DO)، کل مواد جامد محلول (TDS)، هدایت



شکل ۲- موقعیت نقاط نمونه برداری رسوب و سنگ در تطابق با نقشه زمین شناسی منطقه مورد مطالعه



شکل ۳- موقعیت منطقه مورد مطالعه و مکان‌های نمونه‌برداری

نیز تمرکز خیلی بالا دارند. بنابراین می‌توان نتیجه گرفت که سنگ‌های منطقه، پتانسیل آلایندگی این عناصر را دارند.

در جدول ۲، نتایج به دست آمده برای آنالیز نمونه‌های رسوب همچنین میانگین غلظت عناصر انتخابی نمونه‌های رسوب با غلظت عناصر در استانداردهای زیست محیطی آورده شده است. میانگین مقدار آرسنیک و منگنز در نمونه‌های رسوب منطقه مورد مطالعه، بیش از شیل میانگین است. میانگین مقدار عناصر آرسنیک، آهن و منگنز در رسوب منطقه مورد مطالعه مقایسه با کربنات میانگین بالاتر است. میانگین مقدار آرسنیک در منطقه مورد مطالعه مقایسه با پوسته قاره‌ای و پوسته اقیانوسی نیز بالاتر است. تنها میانگین مقدار منگنز بالاتر از میانگین پوسته قاره‌ای می‌باشد. بر اساس نتایج به دست آمده از آنالیز نمونه‌های آب مورد مطالعه (جداول ۳)، مقدار As برحی از نمونه‌ها بیشتر از حد مجاز و در بسیاری از نمونه‌ها بیشتر از مقدار توصیه شده As در آب است.

## بحث و نتایج

به طور معمول تمرکز بالای آرسنیک در مناطقی رخ می‌دهد که نتیجه خارج شدن از منابع ژئوترمال یا آب‌های زیرزمینی غنی از آرسنیک باشد (Smedley & Kinniburgh, 2002). آرسنیک از طریق فعالیت‌های مختلف انسانی نیز وارد محیط‌زیست می‌شود. منبع اصلی بشرزاد آرسنیک، ناشی از باطله‌های شیمیایی (٪۴۰)، خاکستر زغال (٪۲۲)، معدنکاری (٪۱۶) و صنعت متالوژی (٪۱۳) می‌باشد (Eisler, 2004; Nriagu & Pacyna, 1988).

آرسنیک همچنین در بسیاری از حشره‌کش‌ها، علف‌کش‌ها و کودها وجود دارد. در جدول ۱ میانگین پوسته‌ای عناصر (کلارک)، برای عناصر As, Fe, Al, Mn, P و S همچنین مقایسه میانگین پوسته‌ای عناصر با نتایج آنالیز سنگ‌ها مشخص شد که این عناصر در اکثر نمونه‌ها دارای مقادیری بالاتر از مقدار کلارک می‌باشند و تعداد زیادی از نمونه‌ها

جدول ۱- میانگین پوسته‌ای یا کلارک تعدادی از عناصر

عنصر	S	P	Mn	Fe	As	Al
پوسته قاره‌ای بالای**	۹۵۳	۶۶۵	۵۲۷	۳۰۸۹۰	۲	۷۷۴۴۰
پوسته قاره‌ای پایینی**	۴۰۸	۸۷۲	۹۲۹	۵۷۰۶۰	۱/۳	۸۲۱۲۰
میانگین پوسته*	۲۴۰۰	۷۰۰	۸۵۰	۴۷۲۰۰	۱۳	۸****
میانگین	۳۳۶۶	۱۱۱۸	۱۳۶۲	۵/۵	۱۴۰	۶/۷
کمینه	۱۰۰	۶۹۴	۲۶۲	۱/۵	۷	۰/۵
بیشینه	۸۲۲۰۰	۳۰۰۰	۱۰۹۰۷	۱۳	۶۴۳۶	۹

(\*Turekian and Wedepohl, 1961; \*\*Wedepohl, 1995 )

جدول ۲- میانگین غلظت عناصر در نمونه‌های رسوب با غلظت عناصر در استانداردهای زیست‌محیطی رسوبات (mg/Kg)

موقعیت	نمونه	As	P	S	Mn	Fe	Al
%						mg/Kg	
شیل*		۱۳	۷۰۰	۲۴۰۰	۸۵۰	۴,۷	۸
کربنات میانگین*		۲,۵			۷۵۰	۱,۵	
میانگین در پوسته اقیانوسی*		۱,۵			۱۲۰۰	۷	
میانگین در پوسته قاره‌ای*		۳,۱			۷۱۶	۴,۳	
سد منجیل	NS۶	۱۶	۵۸۸,۱	۶۹۸,۱۷۵	۵۸۸,۵	۲,۴۷	۱
علی‌آباد	NS۳	۶,۳	۷۴۷,۹	۹۰۷,۶	۸۲۵	۳,۲	۱,۳
سیردان	NS۲	۱۲	۹۱۳,۶	۱۷۱۰,۴	۴۷۷,۵	۴,۷	۱,۳
شیرین سو	NS۱	۵۹	۵۲۷	۵۶۱	۲۹۳۷,۵	۳	۱,۱
سرکلهرود	NS۸	۳,۹	۵۶۷,۴	۳۰۳	۱۰۸۵	۵,۷	۲,۲
لوشان ۲	NS۴	۹,۲	۸۱۸,۹	۵۴۲,۵	۸۱۷,۵	۴,۲	۱,۴
بوچاق	NS۱۷	۱۲,۱	۸۰۷	۵۸۳,۸	۹۵۷,۵	۶	۱,۱
بلی کیا شهر	NS۱۶	۱۳,۹	۵۶۶,۸	۳۹۱	۱۲۰۵	۴,۵	۱,۶
دهسر	NS۱۵	۱۱,۸	۵۶۰,۲	۴۰۷,۵	۱۱۰۵	۳,۷	۱,۶
بلی آستانه	NS۱۴	۸,۶	۶۳۹,۷	۴۶۷,۶	۱۰۱۷,۵	۴,۵	۱,۴
زیلکی رود	NS۱۲	۷,۶	۴۵۰	۳۲۱,۶	۸۲۹,۴۴	۳,۵	۱,۲
سد تاریک	NS۱۳	۶,۲	۷۱۱	۵۸۳	۷۳۷,۵	۳,۲	۱,۶
سرکلهرود	NS۹	۵,۹	۵۳۷,۸	۲۳۹,۵	۱۲۵۵	۵,۲	۲,۳
توتکابن	NS۱۱	۷,۴۲۵	۶۳۹,۵	۳۲۷,۷	۶۷۰	۳,۵	۱,۵
چره	NS۱۰	۳,۳	۲۸۵,۶	۲۴۶	۲۸۲,۵	۱,۷	۰,۵۳
لوشان ۱	NS۵	۶,۳	۱۰۱۷	۵۹۱,۹	۹۸۰	۵,۲	۱

(\*Turekian and Wedepohl, 1961 )

جدول ۳- میانگین متغیرهای اندازه‌گیری شده برای نمونه‌های آب

pH	TDS	EC	DO	BOD	COD	PO <sub>4</sub>	As	ایستگاه	
mg/L							μg/L		
۷/۱۲	۱۷۴۴/۵	۲/۷۲	۴/۳۱۴	۳۰/۰۸	۶۸/۸۵	۰/۰۸	۳/۲۸	W۱	ج
۷/۵۵	۹۰۷/۶	۱/۴۱	۵/۹۳	۲۶/۲۲	۶۰/۱۶	۰/۰۵	۱/۵۹	W۲	
۷/۷۳	۶۱۸/۶	۰/۹۶۷	۲/۱۵	۳۲/۱۶	۶۳/۸۸	۰/۲۹	۱/۹۷	W۳	
۷/۲۵	۸۹۳/۳	۱/۳۹	۳/۴۱	۳۱	۶۶/۴	۱/۲۹	۴/۷۷	W۴	
۷/۱۸	۴۹۵	۰/۷۷	۵/۹۳	۱۸/۸۵	۴۰/۲۵	۰/۰۹	۲/۴۹	W۵	
۷/۵۳	۳۱۲/۱۱	۰/۴۷	۴/۶۷	۱۸/۲۵	۳۹/۵۱	۰/۳۴	۲/۲۳	W۶	
۶/۷	۵۹۷/۱۱	۰/۹۳۲	۵/۱۳	۱۵/۶۲	۳۶/۲۴	۰/۰۸	۲/۵۴	W۷	
۶/۷۵	۸۸۴/۵	۱/۳۸۳	۵/۰۸	۲۲/۰۱	۴۴/۵۵	۰/۹۹	۱/۶۴	W۸	
۷/۱	۸۶۸	۱/۳۵	۲/۷۴	۲۸/۸	۶۳/۷۷	۰/۷۵	۲/۴۴	W۹	
۷/۳۲	۸۷۸/۲	۱/۳۷	۳/۲۹	۳۰/۸	۷۳/۳	۴/۸۷	۱۷/۷۱	W۱۰	
۷/۲۱	۱۱/۷۷	۱/۸۴	۳/۱۹	۳۴/۶	۷۴/۹۸	۰/۶۸	۱۵/۳۶	W۱۱	
۷/۱۲	۹۳۷/۵	۱/۴۶	۲/۲۷	۳۶/۳	۷۹	۰/۱۱	۳/۶۷	W۱۲	
۷/۵۱	۱۰۶۱	۱/۶۸	۳/۵۵	۲۸/۶۲	۵۹/۷۸	۰/۰۵۷	۵/۰۵	W۱۳	
۶/۹۷	۱۲۷۷۲/۴	۱/۹۹	۳/۰۲	۳۱/۷۵	۶۵/۹۴	۰/۳۳	۴/۳۲	W۱۴	
۷/۴۵	۱۰۱۴/۶	۱۸	۴۰/۹	۶۲/۷۳	۰/۲۳	۱۱/۲	۴/۲۹	D۱	پیش
۷/۵۵	۹۶۱/۶۶	۱۷/۵۷	۴۲/۴۷	۶۸/۵۷	۰/۲۱	۱۴	۳/۶۶	D۲	
۷/۶۱	۸۳۱/۵۵	۱۶/۴۲	۲۷/۴۱	۴۷/۹	۰/۱۴	۵/۸۹	۳/۶۸	D۳	
۷/۵۱	۱۰۳۶	۱۸/۴۲	۳۴/۷	۶۶	۰/۳۷	۱۰/۰۵	۷/۴۹	D۴	
۷/۵	۹۲۴/۳۳	۱۸	۴۳/۸	۷۷/۹۵	۰/۳۵	۹/۸۸	۲/۸۲	D۵	
۷/۵۵	۹۴۱/۱۱	۱۷/۷۱	۴۳/۵	۸۷/۲۲	۰/۱۵	۱۹	۳/۳۸	D۶	
۷/۴۲	۱۲۷۷۷/۱۱	۱۷/۷۱	۴۱/۸۵	۸۴/۷	۰/۲	۲۰/۸۳	۲/۸۸	D۷	
۷/۵۴	۹۰۷/۸۸	۱۷/۱۴	۴۰/۰۲	۷۱/۵۶	۰/۲۲	۷/۷۴	۵/۲۹	D۸	
۷/۹۳	۱۳۱۲/۸۸	۲/۰۵	۹/۳۱	۳۷/۴۳	۷۴/۸۲	۰/۱۴۲	۵/۲	R۱	
۷/۷۹	۹۴۲/۴۴	۱/۵	۹/۴۸	۳۳/۲	۶۵/۲۱	۰/۱۲	۴/۳۴	R۲	
۷/۸۱	۷۸۹/۸۸	۱/۲۳	۸/۸۶	۳۴/۴۵	۷۷/۲	۰/۰۶	۴/۲۸	R۳	
۷/۷۱	۷۵۷	۱/۰۱	۸/۴۵	۳۲/۴۲	۸۱/۴۱	۰/۱۳	۳/۷۹	R۴	
۷/۷۷	۷۹۸/۱۱	۱/۲۵	۸/۷۴	۲۹/۷۴	۶۴/۰۱	۰/۱	۵/۸	R۵	
۸/۱۳	۳۰۶/۶۶	۰/۴۷	۹/۳۱	۱۵/۲۷	۳۰/۸۹	۰/۰۵	۴/۷۳	R۶	
۸/۰۵	۳۲۹/۷۷	۰/۵۱	۹/۴۱	۱۳/۶۸	۲۷/۸	۰/۰۷	۳/۰۷	R۷	
۸/۰۷	۳۴۳/۸۸	۱/۵۱	۹/۴	۱۶/۸۷	۳۱/۶۶	۰/۰۷	۲/۸۲	R۸	
۸	۲۱۹/۶۶	۰/۳۴	۹/۹۹	۱۵/۷۱	۳۴/۴۷	۰/۱۳	۲/۹۶	R۹	
۷/۹۲	۱۷۶/۳۴	۰/۳۱	۹/۸۴	۱۵/۲۴	۳۱/۸۴	۰/۱	۲/۲۹	R۱۰	نحوه
۷/۹۸	۲۰۱	۰/۳۰۳	۹/۵۶	۲۱/۳۵	۴۵/۴۸	۰/۰۹	۳/۳۲	R۱۱	
۸/۰۴	۲۰۲	۰/۳۱	۹/۸۱	۱۳/۶۷	۲۵/۸۵	۰/۱۱	۲/۳۸	R۱۲	
۷/۶۱	۲۰۰/۷۷	۰/۳۲	۹/۹۵	۱۳/۴۳	۲۸	۰/۰۶	۳/۲	R۱۳	
۷/۸۳	۲۱۰	۰/۳۲۸	۱۰/۱	۱۳/۶۶	۲۶/۴۱	۰/۱۲	۲/۳۷	R۱۴	
۷/۷۵	۲۱۳/۲۲	۰/۳۳	۹/۴۸	۱۵/۰۱	۳۰/۹۱	۰/۱۸	۴/۱۳	R۱۵	
۷/۷۳	۱۸۵/۵۵	۰/۲۹	۹/۸۶	۱۳/۶۸	۳۲/۹۷	۰/۱۵	۳/۱۱	R۱۶	
۷/۸۴	۱۹۳/۴۴	۰/۳۰۵	۹/۷۸	۱۰/۷۵	۲۵/۸۸	۰/۰۸	۳/۲۱	R۱۷	

ادامه جدول ۳- میانگین متغیرهای اندازه‌گیری شده برای نمونه‌های آب

۷/۸۷	۱۸۸/۵۵	۰/۲۸	۱۰/۱۵	۱۳/۱۵	۲۸/۰۳	۰/۰۸۴	۳/۲۸	R۱۹
۷/۸۴	۲۱۱/۸۸	۰/۳۳	۹/۸۵	۱۲/۱۶	۲۵/۶۸	۰/۰۴	۲/۰۲	R۲۰
۷/۹۵	۱۹۳/۳۳	۰/۳	۹/۳	۱۰/۱۴	۲۲/۴۶	۰/۰۶	۲/۶۱	R۲۱
۷/۹۱	۱۹۵/۸۸	۰/۳	۹/۵۵	۱۲/۷۱	۲۴/۷۱	۰/۰۵	۲/۷۹	R۲۲
۷/۷۱	۱۸۹/۳۳	۰/۲۹	۹/۴	۱۰/۲۱	۲۴/۲۲	۰/۰۸	۳/۰۱	R۲۳
۷/۷۸	۱۸۹/۳۳	۰/۲۹	۹/۶۱	۱۶/۱۱	۲۶/۳۲	۰/۰۶	۳/۹۵	R۲۴
۷/۹۵	۱۱۴/۱۱	۰/۱۸	۱۰/۴۶	۱۲/۴۲	۲۲/۳۶	۰/۰۵	۲/۶۶	R۲۵
۷/۶۹	۲۴۹/۱۱	۰/۳۸۹	۹/۷۴	۱۴/۰۹	۳۱/۲۶	۰/۳۴	۲/۶۵	R۲۶
۷/۸۵	۶۷۴/۲۲	۱/۰۵	۹/۳۳	۲۰/۱۸	۴۰/۴۸	۰/۰۹	۳/۳۹	R۲۷

از منطقه جیرنده در رتبه بعدی قرار دارد و سپس مارن‌های منطقه بیشترین میزان آرسنیک را دارند.

#### بررسی آرسنیک در حوضه آبریز

با بررسی ضرایب همبستگی بین مقادیر آرسنیک با متغیرهای فیزیکی و شیمیایی نتایج زیر حاصل شد(جداول ۴): در مجموع، ضریب همبستگی آرسنیک با سایر متغیرها پایین می‌باشد ولی همبستگی ضعیف مثبتی بین آرسنیک با TDS، COD، EC، BOD، PO<sub>4</sub><sup>3-</sup> و NiZ همبستگی ضعیف منفی با DO مشاهده می‌شود. این موضوع نشان‌دهنده کاهش آرسنیک محلول در محیط‌های با اکسیژن محلول بالاتر است.

بررسی تغییرات غلظت آرسنیک در ماههای مختلف در نمودار تغییرات زمانی (شکل‌های ۶، ۵ و ۷) نشان می‌دهد که کمترین میزان آرسنیک در نمونه‌های زهکش بهمن ماه و بیشترین میزان آن در شهریور است. برای نمونه‌های چاهه‌ها، کمترین میزان در مهرماه و بیشترین میزان در شهریورماه اندازه‌گیری شده است. برای نمونه‌های برداشت شده از رودخانه‌ها، کمترین غلظت آرسنیک در آبان ماه و بیشترین غلظت آن در خردادماه اندازه‌گیری شده است. در تیرماه مقدار بارش باران به کمترین میزان خود می‌رسد. با شروع فصل بارش‌ها (شهریورماه)، بر میزان As موجود در چاهه‌ها

#### توزیع آرسنیک در نمونه‌های سنگ و رسوب

میانگین مقادیر آرسنیک در شیل ppm ۱۳ می‌باشد (Mason & Moore 1944). بر اساس راهنمای کیفیت رسوب انتاریو (۲۰۰۸) سطح اثر خفیف آرسنیک در رسوبات ppm ۶ و سطح تأثیر شدید آن در رسوبات ppm ۳۳ تعیین شده است. جذب آرسنیک (V) روی سطوح کانی‌ها، فرآیند مهمی است که روی تحرک و تثیت آرسنیک تأثیر می‌گذارد (Gustafsson & Jacks, 1995). اکسی-هیدروکسیدها، به سه طریق بر آزادسازی آرسنیک مؤثرند: (الف) اتحلال کانی‌های حاوی آرسنیک که منجر به آزاد شدن آرسنیک کمی شود، (ب) جذب آرسنیک روی اکسی-هیدروکسیدها، (ج) آزاد شدن آرسنیک تحت pH بالا. حضور آهن در غلظت‌های خیلی زیاد، مانع از آزاد شدن آرسنیک به آب شده و درنتیجه به عنوان جاذب عمل می‌کند (Ahmed, 2004). وجود اکسیدها و هیدروکسیدهای آهن در (بهویژه مارن‌های آهن‌دار)، نقش مهمی در جذب آرسنیک از محیط دارد (Ghasemi et al., 2014). شکل ۴ نقشه توزیع آرسنیک در نمونه‌های سنگ و رسوب منطقه موردمطالعه را نشان می‌دهد. رگه‌های سولفیدی که در گرانیتوئیدی که در جنوب منطقه وجود دارد، بیشترین مقدار آرسنیک در نمونه‌های سنگی را دارا می‌باشد. زغال‌سنگ برداشت شده

اکسیژن کافی اکسیدشده و به اشکال مختلف رسوب می‌کنند (محمدی مرشت و همکاران، ۱۳۹۰). درنتیجه آرسنیک می‌تواند در طی این فرآیند توسط آهن و منگنز جذب شده و از سیستم آب خارج می‌شود. بنابراین در ماههای اردیبهشت، خرداد، تیر و مرداد که کشاورزی انجام می‌شود، از مقدار آرسنیک محلول در آب کاسته می‌شود اما بلاfacسله بعد از اتمام فعالیت‌های کشاورزی (شهریورماه)، مقدار آرسنیک محلول در آب افزایش می‌یابد.

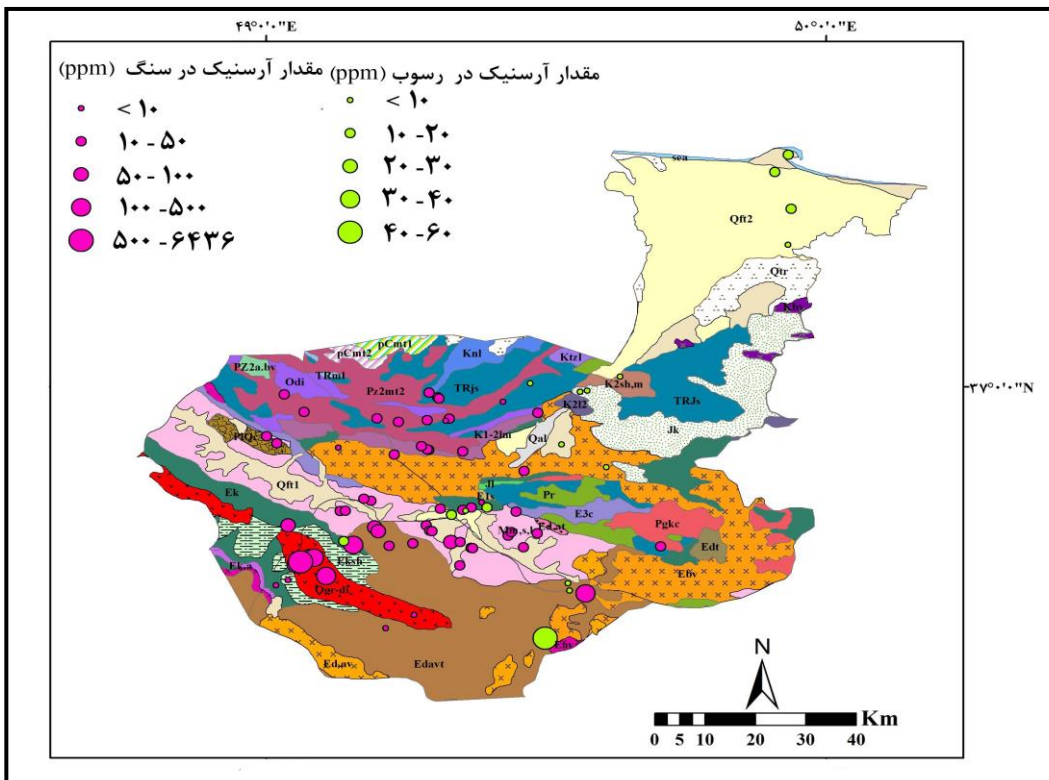
افروده می‌شود که میان این است که احتمالاً As در اثر شستشوی رسوبات و خاک‌ها، آزاد و وارد منابع آب زیرزمینی شده است. همچنین در فصول سرد، مقدار اکسیژن محلول آب بیشتر می‌شود که موجب اکسید شدن آرسنیک و درنتیجه ایجاد رسوب آرسنیک می‌شود. علاوه بر این، خاک‌های شالیزاری در زمان غرقاب، در شرایط احیایی بوده و در این خاک‌ها، آهن و منگنز به فرم احیاء، در طبقات زیرین بر روی سطوح ریشه و یا نواحی دارای

جدول ۴- همبستگی بین متغیرهای اندازه‌گیری شده در نمونه‌های آب منطقه موردمطالعه

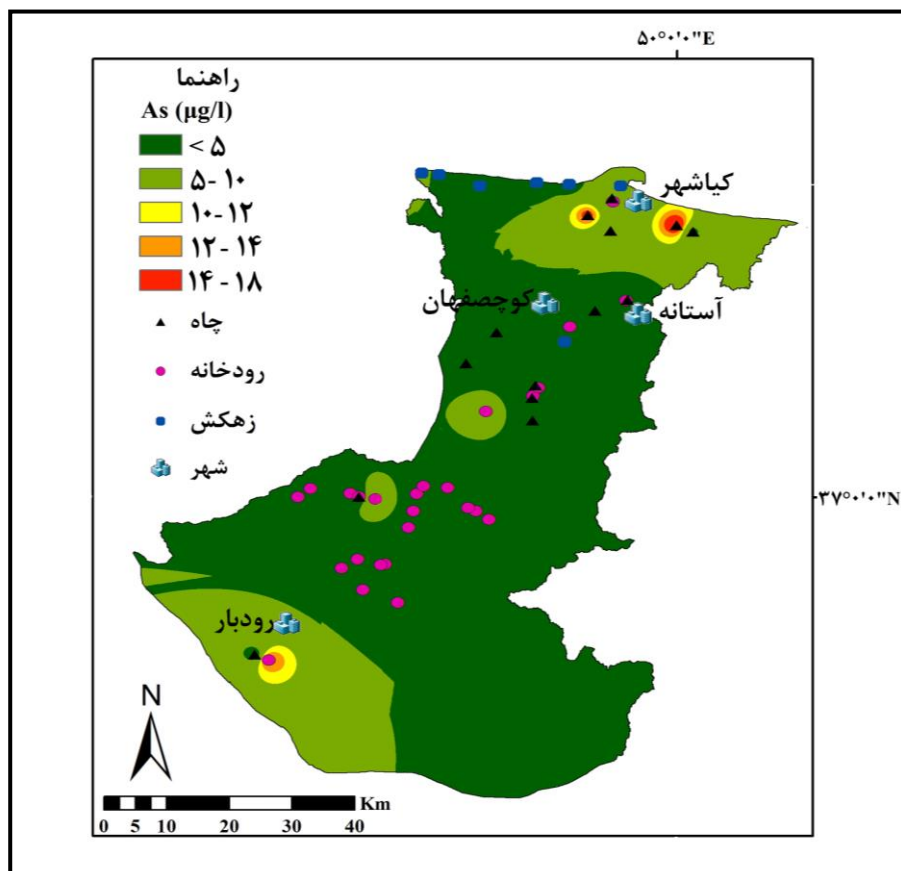
	PH	TDS	EC	T	DO	BOD	COD	NH <sup>4+</sup>	NO <sub>2</sub>	PO <sub>4</sub>	As
PH	۱										
TDS	-۰,۳۰۶**	۱									
EC	-۰,۲۵۳**	۰,۹۷۶***	۱								
T	-۰,۱۷۱**	۰,۲۳۱**	۰,۰۸۵	۱							
DO	۰,۴۵۹**	-۰,۵۹۴**	-۰,۵۱۰**	-۰,۲۱۷**	۱						
BOD	-۰,۲۳۰**	۰,۵۶۰**	۰,۵۵۰**	۰,۱۰۶*	-۰,۳۶۵**	۱					
COD	-۰,۲۳۷**	۰,۵۵۷**	۰,۵۰۶**	۰,۱۵۵**	-۰,۴۱۱**	۰,۸۶۲**	۱				
NH <sub>4</sub>	-۰,۰۲۹	-۰,۰۰۸	-۰,۰۳۰	۰,۰۱۶	-۰,۰۰۸	۰,۰۳۱	۰,۰۳۰	۱			
NO <sub>2</sub>	-۰,۰۱۵	۰,۰۰۸	۰,۰۳۹	-۰,۰۷۳	-۰,۰۴۶	-۰,۰۳۶	-۰,۰۳۴	-۰,۰۲۴	۱		
PO <sub>4</sub>	-۰,۲۲۸**	۰,۰۸۵	۰,۰۸۸	-۰,۰۱۰	-۰,۲۱۹**	۰,۱۵۲**	۰,۱۸۳**	۰,۰۱۹	۰,۰۴۷	۱	
As	-۰,۰۸۷	۰,۴۳۵**	۰,۲۳۴**	۰,۱۵۹**	-۰,۲۷۹**	۰,۲۶۷**	۰,۲۸۴**	۰,۰۲۳	-۰,۰۳۹	۰,۱۵۸**	۱

موجود در مارن‌های منطقه می‌باشد. مارن‌های موجود در منطقه تا ۵۳ ppm آرسنیک دارند. فراوانی آرسنیک از سد منجیل به طرف پایین دست کاهش پیدا می‌کند. علاوه‌براین، رودخانه‌هایی که در مسیر، به سفیدرود اضافه می‌شوند، مقدار As کمتری در مقایسه با سفیدرود دارند که اختلاط این آب‌ها با سفیدرود باعث کمتر شدن غلظت آرسنیک می‌شود، اما مقدار As در پل کیا شهر مجددًا زیاد می‌شود. بیشترین مقدار آرسنیک در نمونه‌های آب زیرزمینی شرق کیا شهر مشاهده می‌شود.

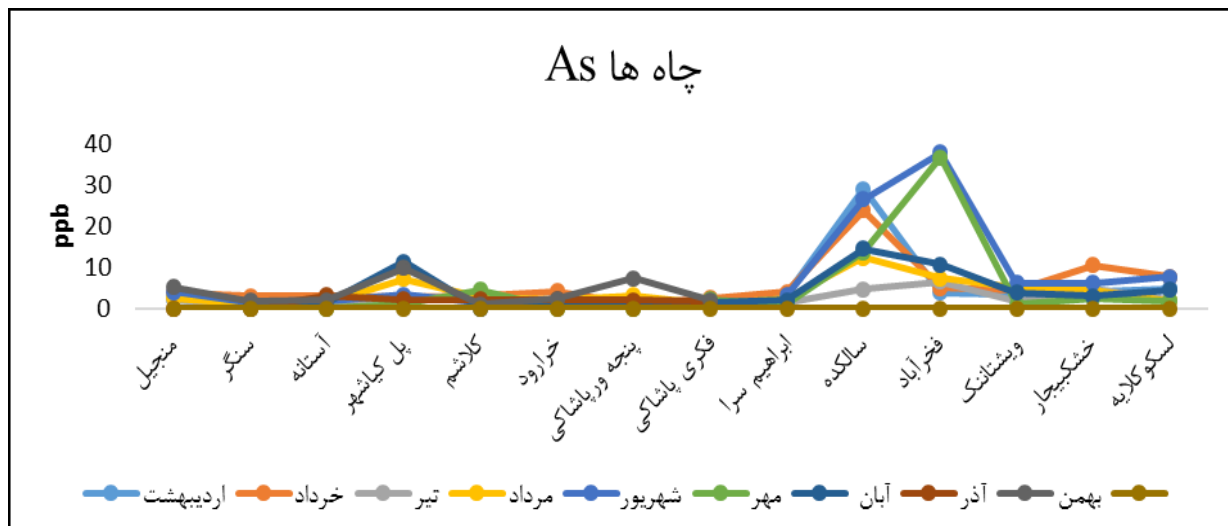
برای بررسی تغییرات مکانی As و سایر متغیرها، نقشه پراکندگی آن‌ها تهیه شد که نشان می‌دهد بیشترین غلظت As در چاههای فخرآباد و سالکده است (شکل ۸). علاوه‌براین، بیشترین مقدار As در آب‌های سطحی برای ایستگاه‌های پل کیا شهر و سد منجیل و کمترین میزان آن در ایستگاه کلاشم و رشته‌رود اندازه‌گیری شده است. بر این اساس در ایستگاه سد منجیل که داری EC بالایی است مقدار As نیز بالا است. منشأ آرسنیک در این ایستگاه، احتمالاً از انحلال کانی‌های سولفیدی موجود در منطقه یا واجدش آرسنیک جذب شده توسط اکسیدهای آهن



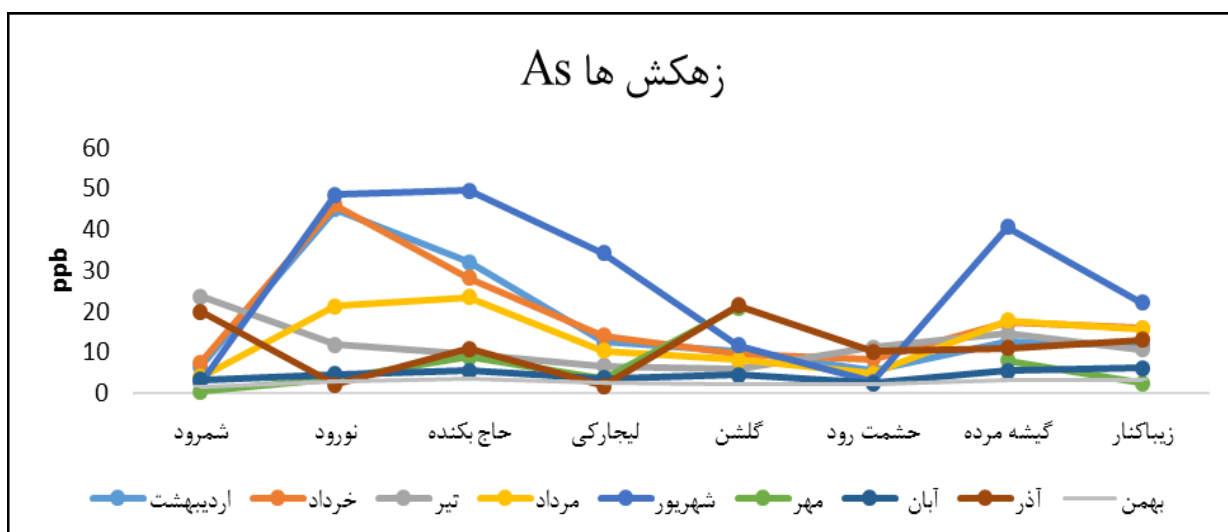
شکل ۴- پراکندگی مکانی عنصر آرسنیک در نمونه‌های سنگ و رسوبات و ارتباط آن با لیتولوژی‌ها



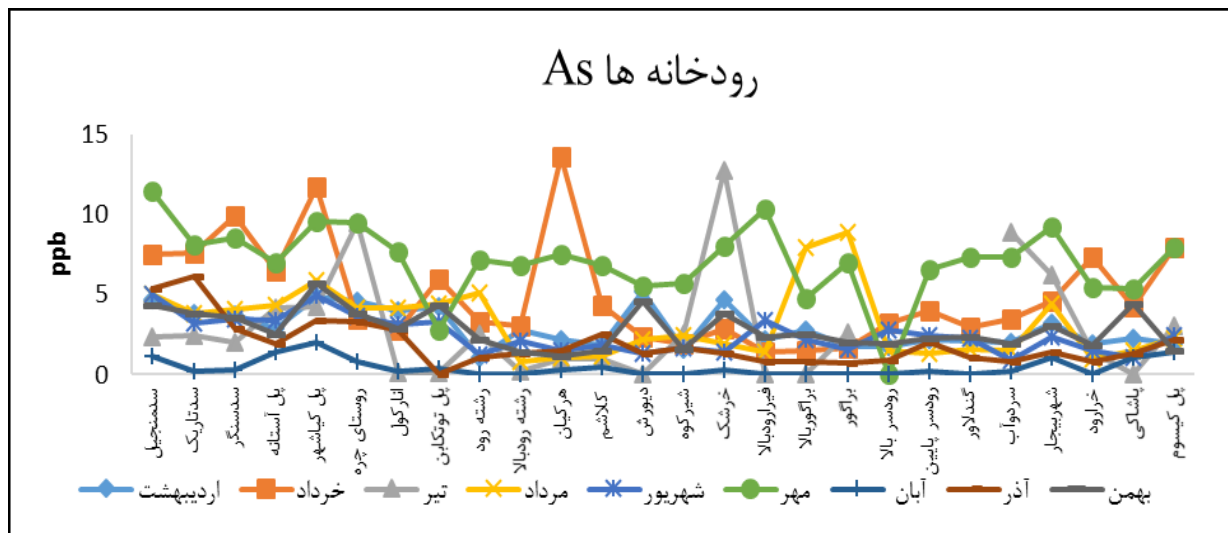
شکل ۸- نقشه تغییرات مکانی آرسنیک



شکل ۵- تغییرات آرسنیک نمونه‌های چاهها در ماههای مختلف



شکل ۶- تغییرات آرسنیک نمونه‌های زهکشی در ماههای مختلف



شکل ۷- تغییرات آرسنیک نمونه‌های رودخانه‌ها در ماههای مختلف

اکسیدهای آهن موجود در مارن‌ها منطقه می‌باشد. مارن‌های موجود در منطقه تا  $53 \text{ ppm}$  آرسنیک دارند با حرکت به سمت پایین دست، میزان EC کاهش پیدا می‌کند و از مقدار EC نیز کاسته می‌شود تا زمانکه در محدوده کیاشهر As دوباره افزایش پیدا می‌کند. درنتیجه مقدار As هم زیاد می‌شود که احتمالاً در اثر واجذب از رسوبات وارد محیط آب شده است. کمترین مقدار آرسنیک در نمونه‌های آب  $\mu\text{g/l}$  As  $0.5 / 49.5$ ، بیشترین  $49.5 / 12.52$  و متوسط آن  $1 / 12.52$  می‌باشد. بیشترین مقدار As در زهکش‌ها، در زهکش نورود و کمترین میزان آن برای زهکش حشمت رود است. در بررسی تأثیر فعالیت‌های کشاورزی بر آلودگی منابع آبی، زهکش‌ها می‌توانند منبع مناسبی برای تشخیص منبع آلودگی‌ها باشند.

زنجان رو زهکش شده و سپس به قزل‌اوزن متصل می‌شود. منابع آبی که از روی این تشکیلات عبور می‌کنند در نهایت وارد سفیدرود می‌شوند و یکی از عوامل آلایندگی آب سفیدرود توسط آرسنیک می‌باشند.

تهدیدات زیست‌محیطی نسبت به دیگر تهدیدات نظامی بسیار کم‌هزینه و عامل تهدید گمنام بوده و در اثبات منشأ حمله ناتوانی وجود دارد و به راحتی قابل انتشار می‌باشد و نیز می‌تواند باعث ایجاد خسارات و تبعات سنگینی برای کشور و محیط‌زیست گردد. از طرفی حفظ محیط‌زیست و چهار عنصر اساسی آن (آب، باد، خاک و آتش) ضروری می‌باشد. در منطقه مورد مطالعه آلایندگی آرسنیک از سه منظر مورد اهمیت است (۱) قرارگیری در معرض دوز پایین آرسنیک در طی زمان طولانی هم خط‌زنگ و بیماری‌زا می‌باشد (آژانس حفاظت محیط‌زیست (EPA) و چند گروه تحقیقاتی دیگر اظهار داشته‌اند که اثرات مزمن بیماری در انسان ممکن است با مصرف طولانی مدت آب آلوده به آرسنیک حتی با غلظت کمتر از  $3 \text{ ppb}$  ایجاد شود

درنتیجه مقدار As هم زیاد می‌شود که احتمالاً در اثر واجذب از رسوبات وارد محیط آب شده است. میزان فراوانی آرسنیک در منطقه مورد مطالعه با فراوانی EC, TDS, BOD و COD در آب‌های سطحی و زیرزمینی تطابق دارد. از طرفی با افزایش میزان شوری آب، یون‌های مثل  $\text{Na}^+$ ,  $\text{K}^+$ ,  $\text{Mg}^{2+}$ ,  $\text{HCO}_3^-$  و  $\text{SO}_4^{2-}$  افزایش می‌یابد. درنتیجه با افزایش رقابت یونی بین As و یون‌ها برای جذب بر روی اکسی-هیدروکسیدهای آهن و اثر متقابل فرآیندهای زیستی، غلظت As در آب‌شور بیشتر می‌شود (Liu et al., 2014, Wang et al 2007). بر این اساس در ایستگاه سد منجیل که داری EC بالایی است مقدار As نیز بالا است. منشأ آرسنیک در این ایستگاه احتمالاً از انحلال کانی‌های سولفیدی موجود در منطقه یا واجذب از سطح با نگاهی به نمونه‌های اندازه‌گیری شده و مقایسه بین آب رودخانه‌ها و زهکش‌ها به این نتیجه می‌توان رسید که به‌غیراز اکسیژن محلول و نیترات بقیه پارامترها افزایش نشان می‌دهد کاهش مقدار DO هم نشان از افت کیفیت آب است. با توجه به این که حوضه آبریز سفیدرود بسیار گسترده است و مناطقی با پتانسیل آلایندگی بسیار بالای آرسنیک از خارج از محدوده مطالعاتی وارد سفیدرود می‌شوند، بنابراین، منابع ایجاد آلایندگی خارج از محدوده مطالعاتی، نیز باید مورد بررسی قرار گیرند تا کلیه منابع آلایندگی آرسنیک شناسایی شوند. با مشخص شدن این موضوع که بیشترین مقدار آرسنیک ورودی به رودخانه سفیدرود از شاخه قزل‌اوزن به آن می‌باشد، سه منطقه پتانسیل آلایندگی آرسنیک در بالادست قزل‌اوزن مشخص گردید که شامل: منطقه قروه و بیجار یکی از مناطق با پتانسیل آلایندگی بالا آرسنیک در جهان شناخته می‌شود، منطقه هشت‌رود (آذربایجان شرقی) که مناطق اطراف کوه آتش‌فسانی سهند را زهکش می‌نماید همچنین منطقه انگوران و دندی (زنجان) می‌باشد این محدوده توسط

### نتیجه‌گیری

بر اساس تجزیه تحلیل ۷۰ نمونه آب زیرزمینی و ۱۵۰ نمونه آب سطحی که در طی ۷ ماه از ۲۹ ایستگاه برداشت شد، مشخص شد که میزان آرسنیک در برخی از قسمت‌های منابع آب منطقه بیشتر از استاندارد WHO (2011) است. اطلاعات هیدروژئوژئمیایی نشان داد که آزاد شدن آرسنیک به درون آب‌های سطحی و زیرزمینی در محدوده موردمطالعه توسط فرایندهای پیچیده‌ای کنترل می‌شود که مهم‌ترین این فرآیندها عبارت‌اند از: ۱) انحلال آرسنیک از سطح اکسی-هیدروکسیدهای آهن به عنوان فرآیند اصلی آزادسازی آرسنیک، ۲) تجزیه و هوازدگی سنگ‌ها و کانی‌های حوضه، ۳) ترکیب کانی‌شناخته‌ی آبخوان، ۴) ورود نمک (از نهشته‌های تبخیری و نفوذ آب دریا به آبخوان)، ۵) فرآیندهای تبادل یونی (کانی‌های رسی در سنگ‌های رسوبی)، ۶) سرعت و مقدار جریان آب، ۷) میزان بارش باران و ۸) فعالیت‌های انسانی.

توزیع آرسنیک در نمونه‌های سنگ نشان می‌دهد که میانگین غلظت عنصر آرسنیک  $140 \text{ ppm}$  می‌باشد. در نمونه‌های رسوبات بالاترین غلظت عنصر آرسنیک  $59 \text{ ppm}$  است. بر اساس نسبت تمرکز محاسبه شده برای نمونه‌های سنگ‌ها منطقه موردمطالعه مشخص گردید که عناصر اندازه‌گیری شده در این پژوهش در اکثر نمونه‌ها، دارای تمرکز بالاتر از مقدار کلارک می‌باشند و تعدادی زیادی از نمونه‌ها تمرکز خیلی بالا دارند، بنابراین می‌توان گفت که سنگ‌های منطقه، پتانسیل آلایندگی این عناصر را دارند.

با مقایسه بین آب رودخانه‌ها و زهکش‌ها به این نتیجه می‌توان رسید که به غیراز اکسیژن محلول و نیترات بقیه پارامترها افزایش نشان می‌دهد کاهش مقدار DO هم نشان از افت کیفیت آب است. میانگین آرسنیک در زهکش سه برابر میانگین رودخانه‌ها است. این موضوع نشان دهنده آلودگی منابع آبی در اثر فعالیت‌های کشاورزی می‌باشد. با

آشامیدن طولانی مدت آب آلوده به ارسنیک ابتدا می‌تواند به مشکلات کلیوی و کارکرد کبد منجر شود و سپس به اندام‌های داخلی شامل شش‌ها، کبد و مثانه آسیب برساند. ارسنیک می‌تواند سیستم عروق محیطی را مختل کرده و منجر به فساد نسوج پاها گردد که در برخی مناطق به عنوان بیماری پای سیاه شناخته می‌شود. از نشانه‌های تماس مزمن با آرسنیک می‌توان به افزایش پیگماناتاسیون، دی-پیگماناتاسیون، کراتوزیس، ایجاد سرطان پوست و تعدادی از سرطان‌های داخلی، بهم ریختگی سیستم تولید ATP، نقص کارکرد سیستم‌های عصبی، گرفتگی عضلات، اختلال در ستر DNA و RNA، نقص تولد، اختلالات قلبی و عروقی و حتی مرگ اشاره نمود.

برای مقابله و درمان این مشکل پایش دائمی منابع آب منطقه جهت تعیین میزان تغییرات غلظت آرسنیک مورد نیاز است. ۲) با توجه به گستره وسیع شالیزارها و وجود چندین مرکز پرورش ماهی‌های استخوانی در اطراف رودخانه سفیدرود امکان زیست انباست آرسنیک در برنج و ماهی‌های تولید شده در این منطقه وجود دارد که عامل ایجاد بیماری از این طریق به سایر مناطق کشور نیز منتقل می‌گردد. برای کنترل این مشکل نیاز به بررسی و آنالیز پیوسته محصولات تولیدی این منطقه است تا از استفاده از محصولات آلوده جلوگیری شود (۳) آلودگی آرسنیک در منطقه موردمطالعه منابع مختلفی دارد که مهم‌ترین آن‌ها منابع زمین‌زad و فعالیت‌های کشاورزی می‌باشد. برای کاهش مقدار آرسنیک می‌توان از روش‌های مختلفی استفاده کرد تا میزان ریسک استفاده را کاهش داد. اما بهترین روش ممکن برای کاهش غلظت آرسنیک استفاده از تشکیلات زمین‌شناسی است که پتانسیل جذب آرسنیک را دارند. زیرا هم در مقیاس بزرگ می‌توان از آن‌ها استفاده نمود، قیمت تمام‌شده پایینی دارند و همچنین داری جذب مناسب آرسنیک می‌باشند.

- Bodek, I., Lyman, W. J., Reehl, W. F. & Rosenblatt, D. H., (1988), "Environmental Inorganic -Geochemistry", NY: Pergaman, pp 43-47. 8.
- Cullen, W.R., & Reimer, K.J., (1989), "Arsenic speciation in the environment", Chem. Rev, 89, pp 64-713.
- Eisler, R. (2004). "Arsenic hazards to humans, plants, and animals from gold mining", Rev. Environ. Contam. Toxicol., 180, 133–165.
- Ghasemi, A., Razmara, M., Nazari, E., Nematollahi, M. J., & Borabadi, R., (2014), "Hydrological and geochemical processes controlling the origin and transport of Arsenic in the Pangi area (NW Torbat Hydarieh, Iran) ". Journal of Middle East Applied Science and Technology (JMEAST), 1 (2): 19-24pp.
- Gustafsson, J. P., & Jacks, G., (1995), "Arsenic geochemistry in forest soil profiles as revealed by soil-phase studies". Appl. Geochem, 10: 307-315pp.
- Harvey, C. F., Swartz, C. H., Badruzzaman, A. B. M., Keon-Blute, N., Niedan, V., Brabander, D., Oates, P. M., Ashfaque, K. N., Islam, S., Hemond, H. F. & Ahmed, M. F., (2002), "Arsenic mobility and groundwater extraction in Bangladesh", Science, 298: 1602–1606pp.
- Kevin, H., (2009), "Arsenic: Environmental Chemistry, Health Threats and Waste Treatment", United Kingdom: John Wiley & Sons, pp 81-88.
- Liu, C. W., Lu, K. L., Kao, Y. H., Wang, C. J., Maji, S. K. & Lee, J. F., (2014), "Identifying sources and controlling factors of arsenic release in saline groundwater aquifers", Hydrology and Earth System Scinece, 18, pp 1089-1103.
- Macur, R. E., Jackson, C. R., Botero, L. M., McDermott, T. R. & Inskeep, W. P., (2004)," Bacterial populations associated with the oxidation and reduction of arsenic in an unsaturated soil", Environ. Sci. Technol., 38, pp 104–11.
- Macur, R. E., Wheeler, J. T., McDermott, T. R. & Inskeep, W. P., (2001), "Microbial populations associated with the reduction and enhanced mobilization of arsenic in mine tailings", Environ Sci Technol., 35, pp 3676–82.
- Mahimairaja, S., Bolan. N. S., Adriano, D. C., and Robinson, B., (2005), "Arsenic Contamination and its risk management in complex environmental settings", Advances in Agronomy. 86: 1-82. 18.
- Mason, B., & Moore. B. C. (1982). Principles of geochemistry. John Wiley: New York, 344: 29-95.
- Nickson, R.T., Mcarthur, J.M., Ravenscroft, P., Burgess, W.G., Ahmed, K.M., (2000), "Mechanism of arsenic release to groundwater, Bangladesh and

آغاز فصل بارش‌ها بر میزان As موجود در نمونه‌ها افزوده می‌شود که احتمالاً در اثر شست‌وشوی رسوبات و خاک‌ها، آزاد و وارد منابع آب‌زیرزمینی شده است. علاوه بر این خاک‌های شالیزاری در زمان غرقاب در شرایط احیاء بوده، درنتیجه آرسنیک می‌تواند در طی این فرایند توسط آهن و منگنز جذب شده و از سیستم آب خارج می‌شوند. همچنین سوم کشاورز استفاده شده در طی فصل کشاورزی می‌تواند بعد از اتمام کشاورزی از سطح مناطق کشاورزی شسته شده و وارد زهکش‌ها بشوند.

## منابع

- استاندارد ۱۰۵۳ ملی ایران، (۱۳۸۸)، آب آشامیدنی - ویژگی‌های فیزیکو‌شیمیایی. چاپ پنجم، موسسه استاندارد و تحقیقات صنعتی ایران. ص ۱-۱۸.
- خبارنیا، آ.، صادقی، آ؛ و سعیدی، آ، (۱۳۸۳)، نقشه زمین‌شناسی رشت (۱:۱۰۰۰۰)، سازمان زمین‌شناسی و اکتشافات معدنی کشور.
- سید محمدی مرشد، ج.، عاکف، م.، افتخاری، ک.، و رمضانپور، ح. (۱۳۹۰) تأثیر سطح آب‌زیرزمینی و کشت برنج بر روی خصوصیات میکرومورفولوژیکی خاک‌های شالیزاری در اراضی بالادست سد سنگر رشت تا دشت ساحلی دریای خزر، مجله پژوهش‌های حفاظت آب و خاک، جلد هجدهم، شماره اول، ص ۳۳-۵۷.
- ahman, M., Naidu, R, and Bhattacharya, P., (2009), "Arsenic contaminationin groundwater in the Southeast Asia region. Environ", Geochem. Health, 31, pp 9–21.
- Ahmed, K. M., (2004), "Arsenic enrichment in groundwater of the alluvial aquifers in Bangladesh", an overview. Appl Geochem, 19, 181-200.
- Arsenic in Drinking WHO., (2011), "Guideline for drinking water quality", fourth ed. World Health - Organization, Singapore (Geneva), pp 315-3186.
- Bhunbla, D. K. & Keebler, R. F., (1994), "Arsenic mobilization and bioavailability in soils, Niragu JO - Arsenic in the Environment", Part I, Cycling and Characterization, John Wiley & Sons, New York Ed. Book, pp 51–82.

West Bengal", Applied Geochemistry 15, pp 403-413.

-Nriagu, J. O., & Pacyna, J. M., (1988), "Quantitative assessment of worldwide contamination of air, water and soils by trace-metals", Nature, 333:134-139.

-Turekian, K. K., & Wedepohl, K. H., (1961), "Distribution of the elements in some major units. of the earth's crust", Geological Society of America Bulletin, 72: 175-192

-Wang, S. & Mulligan, C. N., (2006), "Effect of natural organic matter on arsenic release from soils and sediments in to groundwater", Environ, Geochim. Health, 28: 197-214.

-Wang, S. W., Liu, C. W. & Jang, C. S., (2007), "Factors responsible for high arsenic concentrations in two groundwater catchments in Taiwan", Applied Geochemistry, 22, pp 460-476.

-Wedepohl, K.H., (1995), "The composition of the continental crust, Geochimical et Cosmochimica - Actav", 59(7):1217-1232. 26.Tamasi, G., Cini, R. 2004-Heavy metals in drinking waters from Mount Amiata(Tuscany, Italy).

-Smedley, P. L., and Kinniburgh, D. G., (2002), "A review of the sources, behaviour anddistribution of arsenic in natural waters", Appl. Geochem. 17:517-568.

**abstract**

In order to understand, interpret and evaluation of soil and water contamination of any region, having information about geological conditions is essential. The study area (Sefid rud basin) is located in Gilan province. To investigate the source and parameters that affect arsenic concentrations in the Sefid rud basin, 336 samples from 48 stations (over 9 month) and chemical analysis (61 rock samples and 18 sediment samples) were analyzed. Results showed that As levels in some parts of the study area exceeds the standard limit. Based on calculation of concentration ratio, the measured elements in most samples had a higher concentration than the Clark value, which indicates rock unites had a great potential impact of contamination on the Sefid Rud basin.

Hydrogeochemical parameters of surface and ground waters as well as mineral assemblage and sedimentological characteristics were examined. The highest levels of arsenic contamination were observed in Fakhrabad and Salekdeh wells during October and November. Measured correlation coefficients showed that Nitrate and DO values have negative correlation with arsenic concentration of surface and ground waters. Hydrogeochemical information indicated arsenic release into surface and ground waters of study area is controlled by complicated processes which includes: 1. Arsenic dissolution from Fe oxy-hydroxides as the main process 2. Decomposition and weathering of rocks and minerals of the study area 3. Mineralogical composition of the aquifer 4. Intrusion of seawater and increased salinity 5. Human activities.